

RÉACTION À SOLIDE CONSONNAMABLE

Modèle à cœur réticissant

(CCINP - e3a - PC - 2022)

- Q1 - * Un pore étant une absence de matériau, un volume V_p de matériau poreux est donc moins massif que le même volume de matériau exempt de pores. D'où $\rho_s > \rho_{app}$.
- * $0 \leq \varepsilon \leq 1$

* $\varepsilon = \frac{\text{volume pores}}{\text{volume total}}$; $\rho_{app} = \frac{m}{V_s + V_p}$ où V_s : volume structuré
 V_p : " des pores

$$\rightarrow \frac{\rho_{app}}{\rho_s} = \frac{\frac{V_s}{V_p + V_s}}{\frac{V_s + V_p - V_p}{V_p + V_s}} = \frac{V_s + V_p - V_p}{V_p + V_s} = 1 - \frac{V_p}{V_p + V_s} = 1 - \varepsilon.$$

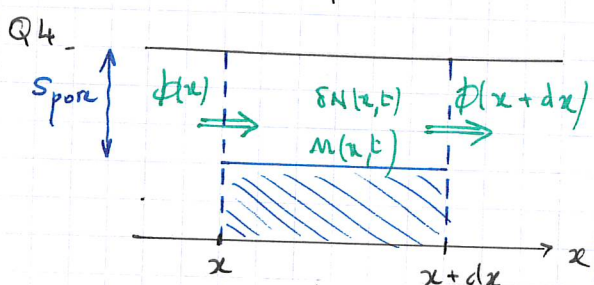
D'où $\varepsilon = 1 - \frac{\rho_{app}}{\rho_s}$ A.N: $\varepsilon = 0,5$

- Q2 - * $L \ll l > 2\varepsilon \Rightarrow$ Invariantes par translations quelconques selon (Oy) et (Oz) . D'où $\vec{j}_N = \vec{j}_N(x, t)$.

- * Ces relations d'ordre reviennent à négliger les effets de bords dont le front de réaction se déplace selon (Ox) . $\vec{j}_N = j_N \vec{e}_x$.

- * Le système est symétrique par rapport au plan $x = \varepsilon$. On peut donc limiter l'étude à la zone $x \in [0, \varepsilon]$.

- Q3 - loi de Fick: $\vec{j}_N = -D \nabla n$ Elle traduit que la densité de flux de particules se fait de la région la plus concentrée vers la zone la moins concentrée (figue (-)).
- \vec{j}_N : densité de courant de particules en $m^{-2} \cdot s^{-1}$
- D : coefficient de diffusion: en $m^2 \cdot s^{-1}$
- n : densité particulaire: en m^{-3}



Or $S_p dx = \varepsilon S dx$

Bilan de matière: $d(\delta N) = [\phi(x) - \phi(x+dx)] dt = [\vec{j}_N(x,t) - \vec{j}_N(x+dt,t)] \vec{e}_x \cdot S dt$

$\rightarrow d(\delta N) = - \frac{\partial j_N}{\partial x} S dx dt = - D \frac{\partial^2 m}{\partial x^2} S dx dt$ par la loi de Fick.

Q5 - Posons $\delta N(x,t)$: le nombre de particules dans le pore.

$$\delta N(x,t) = n(x,t) S_p \cdot dx$$

$$\delta N(x,t+dt) - \delta N(x,t) = \frac{\partial n}{\partial t} S_p dx dt$$

$$\text{Soit } \Sigma \frac{\partial c}{\partial t} = D_e \frac{\partial^2 c}{\partial x^2}$$

Q6 - $\left[D_e \frac{\partial c}{\partial x} \right] = L T^{-1} [c]$ et $[k_D (c_e - c_s)] = L T^{-1} [c]$ d'après l'unité de k_D

d'où la condition limite (3) est homogène.
De même pour la condition limite (4).

* $D_e \frac{\partial c}{\partial x}|_{x=0} = -j_{N,x}(z=0)$ d'après la loi de Fick.

Par analogie avec la loi de Newton, la densité de courant de diffusion à travers la couche limite est proportionnelle à l'écart de concentration de part et d'autre de cette couche limite.
L'égalité entre ces densités de courant est donnée par la continuité de la densité de flux de particules

* $D_e \frac{\partial c}{\partial x}|_{x=x_f} = -j_{N,x}(x=x_f)$

Cette densité de courant est ici égale à la densité de courant de consommation de A à la concentration C_f à la surface du solide non réagi. Cette densité de courant est proportionnelle à la vitesse de consommation, selon une loi de premier ordre apparemment

$$j_{N,x}(x=x_f) = k_c C_f \rightarrow D_e \frac{\partial c}{\partial x}|_{x=x_f} = -k_c C_f$$

Q7 - Régime stationnaire : $\frac{\partial c}{\partial t} = 0 \rightarrow (2) \text{ s'écrit } \frac{\partial^2 c}{\partial x^2} = 0$

* $F_A = \vec{j}_c \cdot S \vec{e}_x = -D_e \frac{\partial c}{\partial x}$

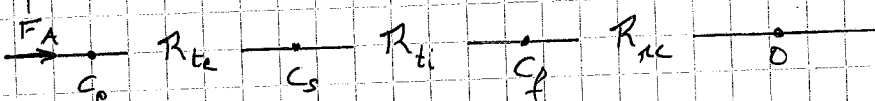
A est consommé par réaction avec le solide en $x=x_f$, donc $\frac{\partial c}{\partial x} < 0$

En régime stationnaire $\frac{\partial^2 c}{\partial x^2} = 0$ donc $\frac{\partial c}{\partial x} = \text{cte indépendante de } x$

Q8 - $\frac{dc}{dx} = \text{cte} \Rightarrow \frac{dc}{dx} = \frac{C_s - C_x}{0 - x} \rightarrow F_A = D_e S \frac{C_s - C_x}{x}$

Q9 - U : équivalent de C. (Les différences de concentration génèrent les courants de particules A.)

F_A : équivalent du courant électrique.



$$R_{te} = \frac{C_e - C_s}{F_A} = \frac{1}{k_D S}; R_{tu} = \frac{C_s - C_f}{F_A} = \frac{x}{D_e S}; R_{ue} = \frac{C_f - C}{F_A} = \frac{1}{k_c S}$$

X l'équation 6 devient $F_A = \frac{C_e - C_s}{R_{te}} = \frac{C_s - C_f}{R_{tu}} = \frac{C_f - C}{R_{ue}}$

* Les résistances sont ici associées en série donc

$$R_{\text{eq}} = R_{te} + R_{ti} + R_{hc}$$

3

Ainsi $C_e - 0 = R_{\text{eq}} \cdot F_A \rightarrow F_A = \frac{C_e}{R_{\text{eq}}}$

$$R_{\text{eq}} = \frac{1}{k_{de} S} + \frac{x}{D_e S} + \frac{1}{k_c S}$$

Q10 - Vitesse de réaction $A + \rightarrow B \rightarrow \text{produits}$

$$\begin{aligned} v &= -\frac{dN_A}{dt} = -\frac{1}{\gamma} \frac{dN_B}{dt} \quad \text{qu'on a déjà identifié à la condition limite (4)} \\ F_A &= v = -\frac{1}{\gamma} \frac{dN_B}{dt} > 0 \quad \text{donc } N_B \text{ décroît au cours du temps.} \end{aligned}$$

Q11 - $N_B(x) = S(e-x) \frac{P_B}{M_B}$

$$F_A = -\frac{1}{\gamma} \frac{dN_B}{dt} = S \cdot \frac{P_B}{M_B} \frac{\partial x}{\partial t} \quad \text{On pose } Q = \frac{S e P_B}{M_B}$$

Démonstration demandée: $\frac{C_e}{R_{\text{eq}}} = S \frac{P_B}{M_B} \frac{\partial x}{\partial t}$

$$\Rightarrow dt = \frac{S}{C_e} \frac{P_B}{M_B} R_{\text{eq}} dx = \frac{P_B}{C_e M_B} \left(\frac{1}{k_{de}} + \frac{x}{D_e} + \frac{1}{k_c} \right) dx$$

Q12 - L'intégration est immédiate: $t_f = K \left(\frac{x_f}{k_{de}} + \frac{x_f^2}{2 D_e} + \frac{u_f}{k_c} \right)$

$$\text{soit } t_f = \frac{k_e}{k_{de}} \cdot \frac{u_f}{e} + \underbrace{\frac{k_e^2}{2 D_e} \cdot \frac{x_f^2}{e^2}}_{t_{oi}} + \underbrace{\frac{k_e}{k_c} \frac{x_f}{e}}_{t_{oc}}$$

Q13. $X_B \stackrel{\text{def}}{=} \frac{N_{B0} - N_B}{N_{B0}}$

Q14 - $N_{B0} = N_B(x=0) = S e \frac{P_B}{M_B}$ d'après Q11

$$N_B = N_B(x \neq 0) = S(e-x) \frac{P_B}{M_B} = N_{B0} - Sx \frac{P_B}{M_B} = N_{B0} \left(1 - \frac{x}{e} \right)$$

$$\rightarrow X_B = \frac{x_f}{e} \quad \text{pour } x = x_f$$

D'où d'après Q12: $t_f = t_{oe} X_B + t_{oi} X_B^2 + t_{oc} X_B$

Q15 - Pour $x_f = e$, $X_B = 1 \rightarrow t_0 = t_{oe} + t_{oi} + t_{oc}$

Q16 - Si $e' = 2e$, $t'_{oe} = 2t_{oe} = 120 \text{ s}$

$$t'_{oi} = 4t_{oi} = 1200 \text{ s}$$

$$t'_{oc} = 2t_{oc} = 240 \text{ s}$$

$$t'_0 = 1560 \text{ s} ; \quad t_0 = 480 \text{ s} \rightarrow \frac{t'_0}{t_0} = 3,25$$

→

Q17 - On souhaite $t_{oi} \gg t_{oc}$ et $t_{oi} \gg t_{oc}$

$$\rightarrow \frac{k \frac{e^2}{2D_e}}{k_o} \Rightarrow \frac{ke}{k_o} \text{ et } \frac{k \frac{e^2}{2D_e}}{\frac{k}{k_e}} \Rightarrow k \frac{e}{k_e}$$

$$\Rightarrow h_o \gg \frac{2D_e}{e} \text{ et } h_c \gg \frac{2D_e}{e}$$

Ces conditions sont d'autant plus facilement réalisées si e est grand
d'où l'intérêt de diviser finement le solide.



PROBLEME PC : Thermique dans un réacteur à eau pressurisé
 (CCP-PC-2013)

$$1 - \bar{\varphi}_v = \frac{P_{th}}{N \cdot \pi r_c^2 H} \rightarrow \bar{\varphi}_v = \frac{P_e}{N \gamma \pi r_c^2 H} \quad \boxed{\bar{\varphi}_v = 3,65 \cdot 10^8 \text{ W.m}^{-3}}$$

$$2 - \bar{\varphi}_s = \frac{P_{th}}{N \cdot 2\pi r_c H} \rightarrow \bar{\varphi}_s = \frac{P_e}{N \gamma 2\pi r_c H} \quad \boxed{\varphi_s = 7,3 \cdot 10^5 \text{ W.m}^{-2}}$$

3. Energie électrique fournie pendant 1 an: $E_e = 13 \cdot 10^{14} \text{ J}$

$$N_f = \frac{E_e}{E_p} \rightarrow N_f = 4,2 \cdot 10^{27}$$

4. Supposons que le solide suive la 1^{ère} loi de Joule: $dU = \sum m c dT$

où $\sum m = \rho dV$; Volume du cylindre de hauteur H : $V = \pi r^2 H$
 $dV = 2\pi r H dr$

$$\rightarrow dU = 2\pi r \rho H c dr dT$$

5 - Système: Coque cylindrique de rayons compris entre r et $r+dr$.

Premier principe appliqué à ce système pendant dt .

$$dU = \delta Q + \delta W \quad \text{où } \delta W = 0 \text{ pour le solide incompressible}$$

$$\begin{aligned} \delta Q &= [\varphi_{\text{ext}}(r) - \varphi_{\text{int}}(r+dr)] dt \\ &= [\varphi_s(r) 2\pi r H - \varphi_s(r+dr) 2\pi(r+dr) H] dt + \varphi_v 2\pi r H dr dt \\ &= \left(-\frac{\partial}{\partial r}(r \varphi_s(r)) + \varphi_v r \right) 2\pi r H dr dt \end{aligned}$$

$$\text{D'où } 2\pi r \rho c H dr dt = \left(-\frac{\partial}{\partial r}(r \varphi_s(r)) + \varphi_v r \right) 2\pi r H dr dt.$$

$$\rightarrow \rho c \frac{\partial T}{\partial t} = -\frac{1}{r} \frac{\partial}{\partial r}(r \varphi_s(r)) + \varphi_v$$

6. Loi de Fourier: $\vec{j}_Q = -\lambda \vec{\text{grad}} T(r) = -\lambda \frac{\partial T}{\partial r} \vec{e}_r \quad ; \quad \varphi_s = \vec{j}_Q \cdot \vec{e}_r$

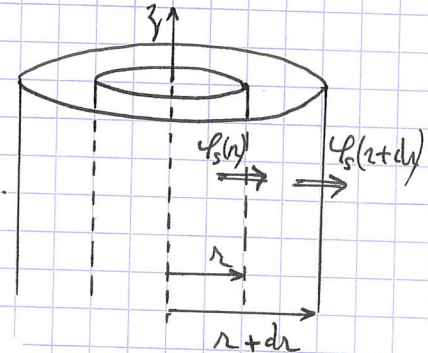
$$\rightarrow \rho c \frac{\partial T}{\partial t} = \frac{\lambda}{r} \frac{\partial}{\partial r} \left(r \frac{\partial T}{\partial r} \right) + \varphi_v$$

7. En régime stationnaire $\frac{\partial T}{\partial t} = 0 \Rightarrow \frac{\lambda_c}{r} \frac{\partial}{\partial r} \left(r \frac{\partial T}{\partial r} \right) = -\varphi_v$

$$\frac{\partial}{\partial r} \left(r \frac{\partial T}{\partial r} \right) = -\varphi_v \frac{r}{\lambda_c} \quad \text{qu'on intègre} \quad r \frac{\partial T}{\partial r} = -\frac{\varphi_v r^2}{\lambda_c} + A$$

$$\frac{\partial T}{\partial r} = -\varphi_v \frac{r}{2\lambda_c} + \frac{A}{r} \quad \text{qu'on intègre} \quad T(r) = -\varphi_v \frac{r^2}{4\lambda_c} + A \ln(r) + B.$$

$$\begin{aligned} \text{Avec } T(0) &= T_0 \neq \infty \Rightarrow A = 0 \\ T(r_c) &= T_c = -\varphi_v \frac{r_c^2}{4\lambda_c} + B \end{aligned} \quad \Rightarrow T(r) = T_c + \frac{\varphi_v}{4\lambda_c} (r_c^2 - r^2)$$



$$\rightarrow \Delta T_{\text{comb}} = T_0 - T_c = \frac{\varphi_v r_c^2}{4 \lambda_c}$$

8. Dans la gaine de conductivité thermique λ_g , il n'y a pas de fissure ($\varphi_v = 0$). L'équation de la chaleur en régime stationnaire s'écrit : $\lambda_g \frac{1}{r} \frac{\partial T}{\partial r} \left(r \frac{\partial T}{\partial r} \right) = 0$

qui on intègre : $r \frac{\partial T}{\partial r} = C$ soit $T(r) = C \ln r + D$.

Conditions limites : $\begin{cases} T(r_c) = T_g = C \ln(r_c) + D \\ T(r_g) = T_p = C \ln(r_g) + D \end{cases} \rightarrow \begin{cases} T_g - T_p = C \ln\left(\frac{r_c}{r_g}\right) \\ D = T_p - C \ln(r_g) \end{cases}$

$$\rightarrow \begin{cases} C = \frac{T_g - T_p}{\ln\left(\frac{r_c}{r_g}\right)} \\ D = T_p - \frac{T_g - T_p}{\ln\left(\frac{r_c}{r_g}\right)} \ln(r_g) \end{cases} \rightarrow T(r) = T_p + \frac{T_g - T_p}{\ln\left(\frac{r_c}{r_g}\right)} \ln\left(\frac{r}{r_g}\right)$$

9. En régime stationnaire : $\varphi_v \cdot \pi r_c^2 H = \varphi_s(r_c) \pi r_c H \Rightarrow \varphi_s(r) = \varphi_v \frac{r_c^2}{2r}$

10. Loi de Fourier : $\varphi_s(r) = -\lambda_g \frac{dT}{dr} = -\lambda_g \frac{T_g - T_p}{\ln\left(\frac{r_c}{r_g}\right)} \frac{1}{r}$

d'où $\Delta T_{\text{gaine}} = T_g - T_p = \frac{\varphi_v r_c^2}{2 \lambda_g} \ln\left(\frac{r_g}{r_c}\right) \quad \Delta T_{\text{gaine}} = 28 \text{ K.}$

11. Comme au 9 : $\varphi_v \pi r_c^2 H = \varphi_s(r_c) \cdot 2 \pi r_c H \Rightarrow \varphi_s(r_c) = \varphi_v \frac{r_c}{2}$

$$\rightarrow T_c - T_g = R_{\text{fh}} \varphi_v \frac{r_c}{2} \quad \Delta T_{\text{conv}} = T_c - T_g = 73 \text{ K.}$$

12. Comme au 9 $\varphi_s(r_g) = \varphi_v \frac{r_c^2}{2 r_g} \quad \rightarrow \Delta T_{\text{conv}} = \varphi_v \frac{r_c^2}{2 r_g \alpha} \quad \Delta T_{\text{conv}} = 90 \text{ K.}$

13. $\Delta T_{\text{crayon}} = \underbrace{T_0 - T_c}_{\Delta T_{\text{comb}}} + \underbrace{T_c - T_g}_{\Delta T_{\text{tuyautin}}} + \underbrace{T_g - T_p}_{\Delta T_{\text{gaine}}} + \underbrace{T_p - T_f}_{\Delta T_{\text{tuyau}}}$

$$\rightarrow \Delta T_{\text{crayon}} = \varphi_v \left(\frac{r_c^2}{4 \lambda_c} + R_{\text{fh}} \frac{r_c}{2} + \frac{r_c^2}{2 \lambda_g} \ln\left(\frac{r_g}{r_c}\right) + \frac{r_c^2}{2 r_g \alpha} \right) = A \varphi_v$$

Application numérique : $\Delta T_{\text{comb}} = 400 \text{ K} \quad \rightarrow \Delta T_{\text{crayon}} = 521 \text{ K.}$

14. Système : Béchou de passage du fluide, de hauteur d_2 .

Elle est en contact thermique avec le quants de crayons. (soit 1 crayon)

D'où le bilan thermique : $\varphi_L(z) dz = \varphi_s(z) \cdot 2 \pi r_g dz$

où $\varphi_s(z) = \varphi_v \frac{r_c^2}{2 r_g}$ (d'après 9) $\rightarrow \varphi_L(z) = \varphi_v \frac{r_c^2}{2 r_g}$

15 - Appliquons le premier principe en système ouvert au fluide calorifère entre y et $y+dy$

$$\delta m dh = \delta Q + \delta W_u \quad \text{où} \quad \delta W_u = 0 \quad \text{car il n'y a pas de partie motrice dans le fluide}$$

$$\delta m = D_m dt$$

$$dh = c_p (T_f(y+dy) - T_f(y)) \quad \text{selon la 1^e loi de Joule applicable au liquide calorifère incompressible}$$

$$\delta Q = \varphi_L(y) dy dh$$

$$\text{D'où} \quad D_m c_p \frac{dT_f}{dy} = \varphi_L(y)$$

$$16. \quad D_m c_p \frac{dT_f}{dy} = \frac{\pi r_c^2}{2} \bar{\varphi}_v \cos\left(\frac{\pi y}{H}\right) \rightarrow T_f(y) = \frac{\pi r_c^2 H}{2 D_m c_p} \bar{\varphi}_v \sin\left(\frac{\pi y}{H}\right) + F$$

$$\text{Condition limite : } T(-\frac{H}{2}) = T_{fe} = - \frac{H \pi r_c^2 \bar{\varphi}_v}{2 D_m c_p} + F$$

$$\rightarrow T_f(y) = \underbrace{\frac{H \bar{\varphi}_v \pi r_c^2}{2 D_m c_p} \sin\left(\frac{\pi y}{H}\right)}_C + \underbrace{\frac{\pi r_c^2 H \bar{\varphi}_v}{2 D_m c_p} + T_{fe}}_B$$

$$17. \quad T_o(y) = \Delta T_{cylindre} + T_f(y) = A \bar{\varphi}_v(y) + B + C \sin\left(\frac{\pi y}{H}\right)$$

$$T_o(y) = A \frac{\pi}{2} \bar{\varphi}_v \cos\left(\frac{\pi y}{H}\right) + B + \frac{H \bar{\varphi}_v \pi r_c^2}{2 D_m c_p} \sin\left(\frac{\pi y}{H}\right)$$

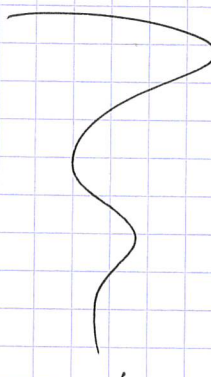
$$\text{Recherche de } T_o(y_{max}): \quad \frac{dT_o(y)}{dy} = - A \frac{\pi^2}{2H} \bar{\varphi}_v \sin\left(\frac{\pi y}{H}\right) + \frac{\pi r_c^2 \bar{\varphi}_v}{D_m c_p} \cos\left(\frac{\pi y}{H}\right) = 0$$

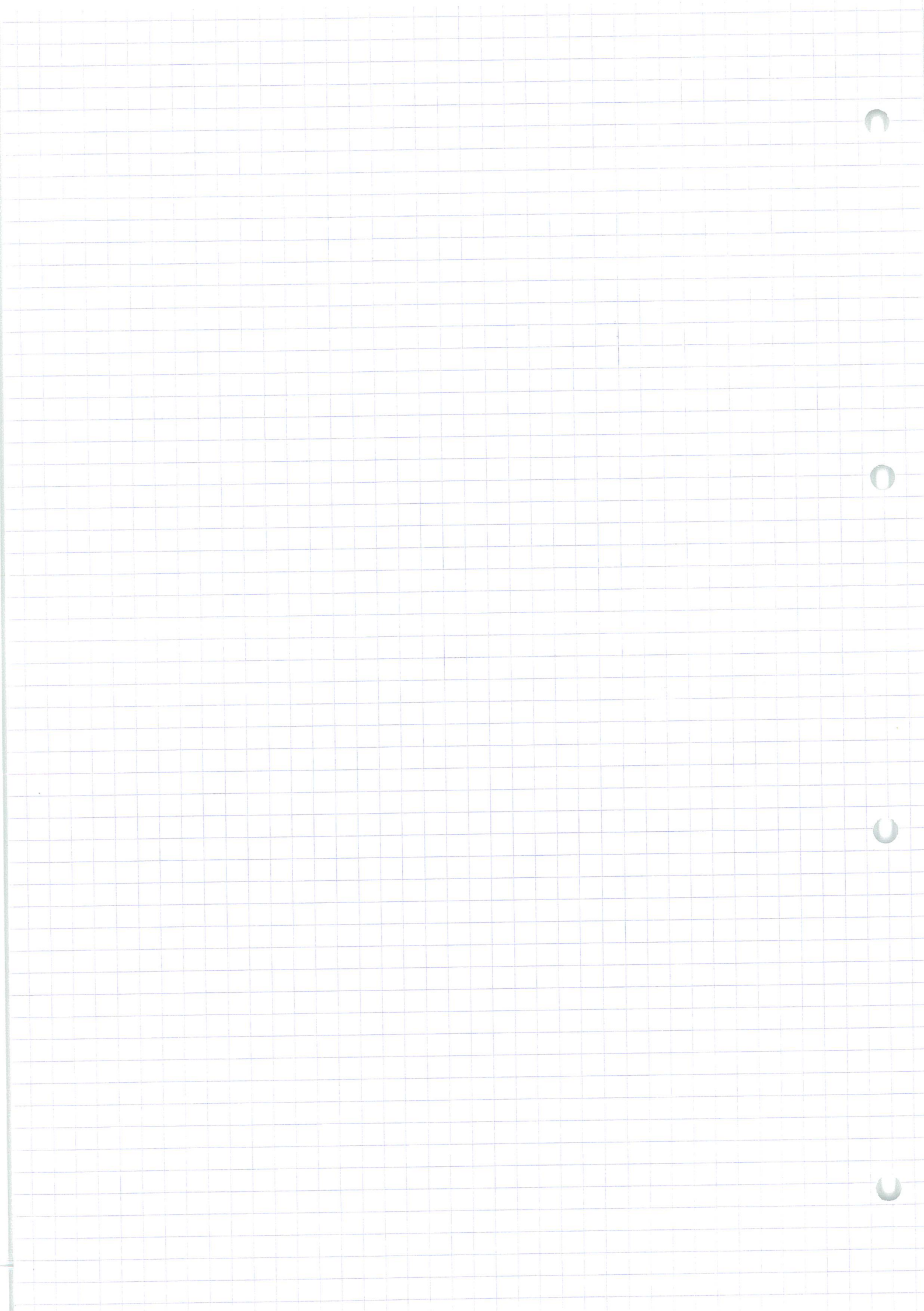
$$\text{Soit} \quad \tan\left(\frac{\pi y_{max}}{H}\right) = \frac{r_c^2 H}{A D_m c_p} \rightarrow y_{max} = \frac{H}{\pi} \arctan\left(\frac{r_c^2 H}{A D_m c_p}\right)$$

$$\text{A.N.: } A = 1,43 \cdot 10^{-6} \text{ K m}^3 \text{ W}^{-1}$$

$$y_{max} = 4 \text{ cm}$$

$$T_o(y_{max}) = 1134^\circ \text{C}$$





AUTOUR D'UNE CENTRALE NUCLÉAIRE

(Centrale Supeler - PSI - 2024)

Q1 - $S_{\text{tot}} = \pi H \cdot 2\pi R_3$ soit $S_{\text{tot}} = \pi N H d$ $S_{\text{tot}} = 4,53 \cdot 10^3 \text{ m}^2$

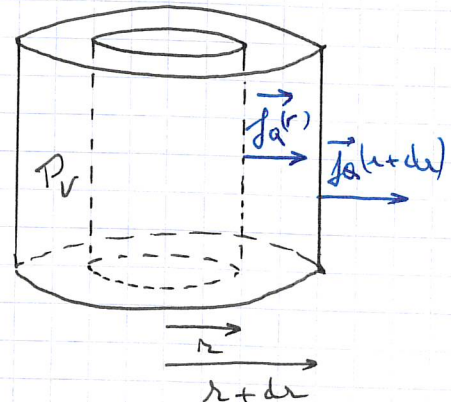
Q2 - Le laplacien en coordonnées cylindriques n'étant pas fourni, on effectue un bilan thermique entre deux cylindres de rayon r et $r+dr$. ($r < R_3$) de hauteur H .

En régime stationnaire, l'énergie interne du système se conserve entre t et $t+dt$:

$$d(SQ) = SQ = 0 \quad S_W = 0 \quad \text{car système isolé.}$$

$$\frac{dS}{dt} = \iint_{\text{cylindre}} \vec{J}_Q(r) d\vec{s} - \iint_{\text{cylindre}} \vec{J}_Q(r+dr) d\vec{s} + \iiint_{\text{volume}} P_V dt$$

cylindre
rayon r cylindre
rayon $r+dr$ volume
système



où $\vec{J}_Q(r) = \vec{J}_Q(r) \hat{e}_r$ car la diffusion thermique est radiale par hypothèse

Loi de Fourier $\vec{J}_Q = -\lambda_2 \vec{\text{grad}} T = -\lambda_2 \frac{dT}{dr} \hat{e}_r$

$$\frac{dS}{dt} = 0 = -\lambda_2 \frac{dT}{dr}(r) \cdot 2\pi r H + \lambda_2 \frac{dT}{dr}(r+dr) \cdot 2\pi(r+dr)H + P_V 2\pi r H dr$$

soit $\lambda_2 \frac{d}{dr} \left(r \frac{dT}{dr} \right) + P_V r^2 = 0 \Rightarrow \frac{d}{dr} \left(r \frac{dT}{dr} \right) + \frac{P_V}{\lambda_2} r = 0$

On pose $A = \frac{P_V}{\lambda_2}$

Q3 - $\frac{d}{dr} \left(r \frac{dT}{dr} \right) = -Ar$, qu'on intègre $r \frac{dT}{dr} = -\frac{Ar^2}{2} + B$

$$\frac{dT}{dr} = -\frac{Ar}{2} + \frac{B}{r}, \text{ qu'on intègre : } T(r) = -\frac{Ar^2}{4} + Bln r + C.$$

* $T(r)$ est finie donc $B = 0$. car $r \in [0, R_3]$.

* Condition limite : $T(R_3) = T_2 = -\frac{AR_3^2}{4} + C \rightarrow C = T_2 + \frac{AR_3^2}{4}$

$\rightarrow T(r) = T_2 + \frac{A}{4} (R_3^2 - r^2)$

Q4 - Cette question suggère d'utiliser la loi de Newton pour faire apparaître h_2 . Alors qu'il n'y a pas de fluide à l'interface.

On peut supposer qu'il s'agit d'une modélisation linéaire choisie pour déterminer la température de contact

On affirme qu'en régime stationnaire, la puissance P_1 produite constitue le flux conducto-convection total à travers la surface de rayon $R_3 = R_4 - e = \frac{d}{2} - e$. ✓

$$P_1 = 2\pi N R_3 H (T_2 - T_3) h_2 = h_2 N \pi H (d - 2e) (T_2 - T_3) \Rightarrow T_3 = T_2 - \frac{P_1}{\pi (d - 2e) N H h_2}$$

Q5. En l'absence de source dans la gaine, le flux P_1 traverse toute surface cylindrique de rayon $r \in [R_3, R_4]$.

$$P_1 = \iint f_Q(r) dS = - \lambda_3 \frac{dT}{dr} \cdot 2\pi r N H$$

$$\frac{dT}{dr} = - \frac{P_1}{2\pi N H \lambda_3} \quad \text{qu'on intègre : } T(r) = - \frac{P_1}{2\pi N H \lambda_3} \ln r + D$$

$$\underline{\text{C.L.}}: T(R_4) = T_4 = - \frac{P_1}{2\pi N H \lambda_3} \ln(R_4) + D \Rightarrow D = T_4 + \frac{P_1}{2\pi N H \lambda_3} \ln(R_4)$$

$$\rightarrow T(r) = T_4 + \frac{P_1 R_4 \ln(\frac{R_4}{r})}{S_{tot} \lambda_3}$$

Q6. T_5 étant la seule température donnée, il faut l'exprimer en fonction de T_4

$$\text{De même qu'à la Q4 : } P_1 = 2\pi N R_4 H (T_4 - T_5) h_4 = S_{tot} h_4 (T_4 - T_5)$$

$$\Rightarrow T_4 = T_5 + \frac{P_1}{S_{tot} h_4} \quad \underline{\text{A.N.}}: T_4 = 328^\circ C$$

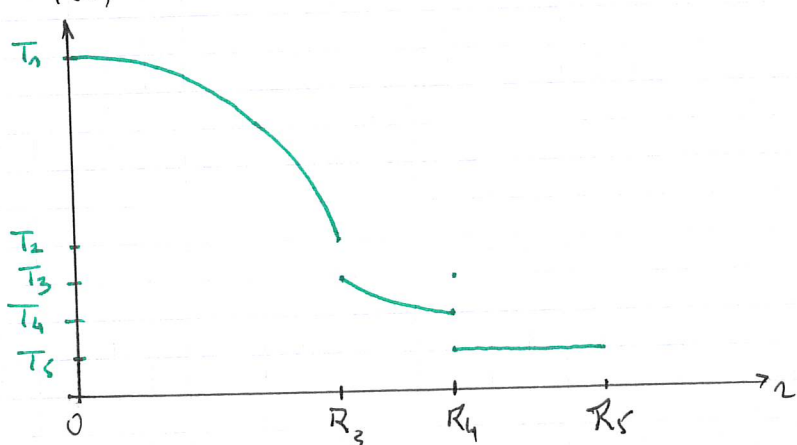
$$T_3 = T_4 + \frac{P_1 R_4}{S_{tot} \lambda_3} \ln\left(\frac{R_4}{R_3}\right) = T_4 + \frac{P_1 d}{2S_{tot} \lambda_3} \ln\left(\frac{d}{d-2e}\right) \rightarrow T_3 = 352^\circ C.$$

$$T_2 = T_3 + \frac{P_1}{\pi(d-2e)NHh_2} \rightarrow T_2 = 422^\circ C$$

$$T_h = T_2 + \frac{P_V N R_3^2}{4\lambda_2} \quad \text{or } P_1 = P_V N \pi R_3^2 H \Rightarrow T_h = T_2 + \frac{P_1}{4\pi \lambda_2 N H}$$

$$T_h = 838^\circ C$$

Q7. $T(r)$

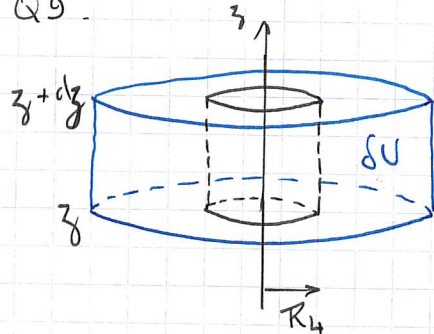


Q8. La pressurisation permet de maintenir une pression supérieure à la pression de vapeur saturante à T_5 afin de maintenir l'état liquide

~~S'il apparaît de la vapeur, le coefficient d'échange h_4 chute ce qui aduira l'évacuation de la chaleur produite par la fission. Cela risque d'entraîner une surchauffe du cœur pouvant aller jusqu'à sa fusion.~~

On peut évacuer une puissance plus importante en augmentant le débit du fluide caloporteur.

Q9.



Système : Tranche annulaire d'eau entre z et $z + dz$.

En régime stationnaire son énergie interne δU ne varie pas malgré les échanges thermiques entre t et $t+dt$.

$$d(\delta U) = 0 = dU_{\text{entrant}}(z) - dU_{\text{sortant}}(z + dz) + \delta Q_{\text{fusion}}$$

On utilise le modèle pour l'eau de la phase condensée indilatible et incompressible. Donc son énergie interne ne dépend que de sa température.

Ainsi $0 = D_m dt c_g T(z) - D_m dt c_g T(z + dz) + P_v \pi R_4^2 dz dt$

$$\rightarrow D_m c_g [T(z + dz) - T(z)] = P_v \pi R_4^2 dz$$

Q10. Soit $D_m c_g dT = P_v(z) \pi R_4^2 dz$ qui on intègre entre $z=0$ et $z=H$.

$$* D_m c_g (T_s - T_e) = \pi R_4^2 \int_0^H P_v \sin\left(\frac{\pi z}{H}\right) dz$$

$$= \pi R_4^2 \frac{H}{\pi} P_v \left[-\cos\left(\frac{\pi z}{H}\right) \right]_0^H = 2 P_v R_4^2 H.$$

$$\Rightarrow T_s - T_e = \frac{2 P_v R_4^2 H}{D_m c_g}$$

On constate que de façon prévisible, $T_s - T_e$ est une fonction décroissante du débit, cohérent avec la remarque de Q8.

* En intégrant entre $z=0$ et z

$$D_m c_g (T(z) - T_e) = \cdot R_4^2 H P_v \left[-\cos\left(\frac{\pi z}{H}\right) \right]_0^z$$

$$T(z) = T_e + \frac{R_4^2 H P_v}{D_m c_g} \left(1 - \cos\left(\frac{\pi z}{H}\right) \right)$$

Soit $T(z) = T_e + \frac{T_s - T_e}{2} \left(1 - \cos\left(\frac{\pi z}{H}\right) \right)$

Q11. On écrit localement, la continuité du flux thermique à l'interface crayon/fluide, sur le même système mesoscopique que précédemment

$$P_v(z) \pi R_4^2 dz = h_{cc} \ell_{cc} R_4 dz (T_p(z) - T(z))$$

$$\Rightarrow T_p(z) = T(z) + \frac{P_v R_4}{2 h_{cc}} \sin\left(\frac{\pi z}{H}\right)$$

A l'aide des réponses de Q10 on obtient

$$T_p(z) = T_e + \frac{T_s - T_e}{2} \left(1 - \cos\left(\frac{\pi z}{H}\right) \right) + (T_s - T_e) \frac{D_m C_S}{4 h_{cc} R_4 H} \sin\left(\frac{\pi z}{H}\right)$$

d'où $\frac{T_p(z) - T_e}{T_s - T_e} = \frac{1}{2} \left[1 - \cos\left(\frac{\pi z}{H}\right) + \frac{D_m C_S}{2 h_{cc} R_4 H} \sin\left(\frac{\pi z}{H}\right) \right]$ On pose $B = -1$

$$C = \frac{D_m C_S}{2 h_{cc} R_4 H}$$

Q12 - On reprend le résultat de Q.3 où on remplace T_v par $T_v(z)$, et R_3 par R_4 , T_2 par $T_p(z)$

$$T_c(r, z) = T_p(z) + \frac{P_o R_4^2}{4 \lambda_2} (R_4^2 - r^2) \rightarrow T_c(r, z) = T_p(z) + \frac{P_o R_4^2}{4 \lambda_2} \left(1 - \frac{r^2}{R_4^2} \right) \sin\left(\frac{\pi z}{H}\right).$$

où $P_o R_4^2 = (T_s - T_e) \frac{D_m C_S}{2 H}$ et on injecte l'expression précédente de $T_p(z)$

$$\begin{aligned} T_c(r, z) &= T_e + \frac{T_s - T_e}{2} \left[1 + B \cos\left(\frac{\pi z}{H}\right) + C \sin\left(\frac{\pi z}{H}\right) \right] + \frac{T_s - T_e}{2} \cdot \frac{D_m C_S}{4 \lambda_2 H} \left(1 - \frac{r^2}{R_4^2} \right) \sin\left(\frac{\pi z}{H}\right) \\ \Rightarrow \frac{T_c(r, z) - T_e}{T_s - T_e} &= \frac{1}{2} \left[1 + B \cos\left(\frac{\pi z}{H}\right) \right] + \left[\frac{C}{2} + \frac{D_m C_S}{8 \lambda_2 H} \left(1 - \frac{r^2}{R_4^2} \right) \right] \sin\left(\frac{\pi z}{H}\right) \end{aligned}$$

$$D = B = -1; E = \frac{C}{2} = \frac{D_m C_S}{4 h_{cc} R_4 H}; F = \frac{D_m C_S}{8 \lambda_2 H}$$

Q13 - $T_c(0, z) = T_e + \frac{T_s - T_e}{2} \left[1 - \cos\left(\frac{\pi z}{H}\right) \right] + \frac{D_m C_S}{2 H} \left[\frac{1}{h_{cc} R_4} + \frac{1}{2 \lambda_2} \right] \sin\left(\frac{\pi z}{H}\right)$

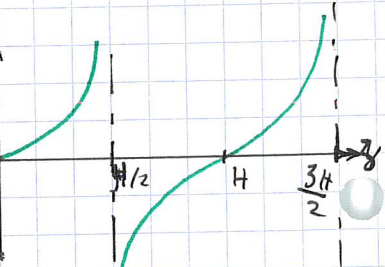
Q14 - $\frac{dT_c}{dz} = \frac{T_s - T_e}{2} \left[\frac{\pi}{H} \left[\sin\left(\frac{\pi z}{H}\right) + \frac{D_m C_S}{2 H} \left(\frac{1}{h_{cc} R_4} + \frac{1}{2 \lambda_2} \right) \cos\left(\frac{\pi z}{H}\right) \right] \right] = 0$

$$\Rightarrow \tan\left(\frac{\pi z}{H}\right) = - \frac{D_m C_S}{2 H} \left(\frac{1}{h_{cc} R_4} + \frac{1}{2 \lambda_2} \right) < 0$$

donc $\frac{\pi}{2} < z_{max} < \pi$.

d'où $\frac{\pi z_{max}}{H} = \pi - \arctan\left(\frac{D_m C_S}{2 H} \left(\frac{1}{h_{cc} R_4} + \frac{1}{2 \lambda_2} \right)\right)$

$$z_{max} = H - \frac{H}{\pi} \arctan\left(\frac{D_m C_S}{2 H} \left(\frac{1}{h_{cc} R_4} + \frac{1}{2 \lambda_2} \right)\right)$$



$$z_{max} = 1,86 \text{ m} \approx \frac{H}{2}$$

$$T_c(z_{max}) = 971^\circ\text{C}$$

Cette température est très inférieure à la température de fusion de UO_2 .

Q15 - L'eau s'échauffe au cours de sa circulation le long du rayon, ce qui va augmenter la température de la paroi.
Le rayon a une température de cœur maximale en $z \approx \frac{H}{2}$. Au delà, l'écart de température avec l'eau s'auroit donc la chaleur évacuée par convection croît.

Par ailleurs, cette dernière s'arrête en $z=0$ et $z=H$.
Ces deux effets antagonistes amènent un maximum de T_p en $\frac{H}{2} < z < H$.

Donc $T_p(0) = T_e$ et $T_p(H) = T_s$.